

14 河口導流堤の効果に関する若干の実験的考察

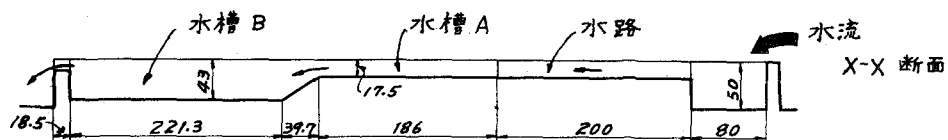
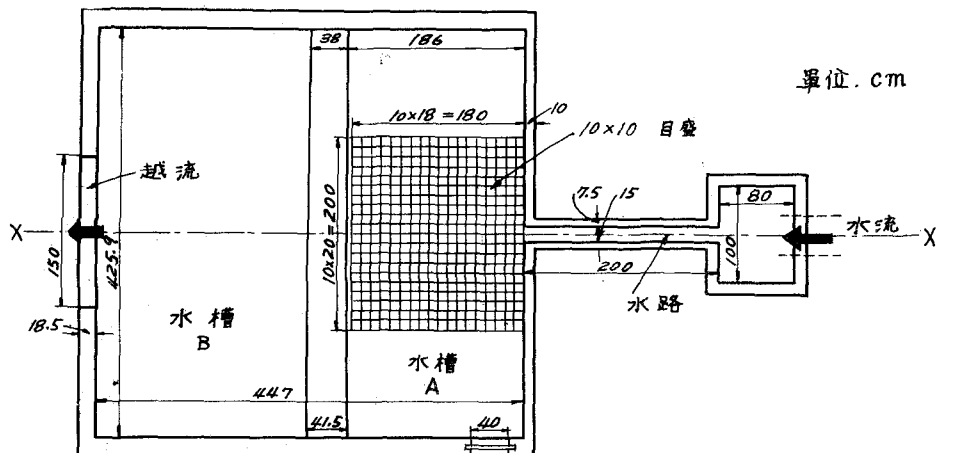
徳島大学工学部 正員 久宝 保

1. 概説

河口の閉塞処理として導流堤を設けた場合に、海洋からの作用と淡水流などの河川流による作用について考慮されねばならない。本考察は前年度に引き続いて、海洋からの作用を一定にし、淡水流が導流堤によっていかなる状態で海洋に出るかという点について、若干の実験的考察をしたものである。

実験は昨年度と同じく、図-1に示すような水槽により、これに300馬力のmotor直結のpumpで水を移動させ、手製のPitot-tubeで流速を測定し、写真によつて水流の状態を解析することとした。導流堤はcement mortarでつくり、直線型と之曲線型の3種を用いた。

図-1 水槽一般図



2. 主流の蛇行

海洋の水があまり動かない状態のときに、河川より流出する淡水流がかなりの流速をもつていると、速度の不連続により、vortex-sheetが生じ、これが誘導してKármán-vortexの渦が発生しやすく、主流が蛇行することになり、これについては実験的にも容易にみられる。勿論この主流の蛇行の実験は水槽の大きさなどにも支配されるであろうが、つきの

3葉の写真からても明らかである。

このような主流が生じなければ、河口の土砂が海洋の深みに運び出されず、導流堤の先端で直ちに堆積して、河口が閉塞されることになる。ゆえにこうした主流を生ぜしめるような導流堤が、河口閉塞処理には有効であるといえる。またその写真より河口には射流による三角波の定常波と、河川流の主流の直進部分とがみとめられる。おそらくこの射流と主流の直進とが、その主流の発生に関連するものと思われる。したがつて、低水時にこの射流および河川流の直進がなければ、河口は海洋の沿岸漂砂などで閉塞されやすくなると考えてよいであろう。

ゆえに射流となる導流堤の中Bは、

$$B < \frac{\omega^2}{g \alpha s y^{1/5}}$$

で与えられる。ただし ω : 洪水流量, g : 重力加速度, y : 水深である。

射流が常流にうちるとき shock wave を生じ、水流は少くともそこまでは直進する。この直進する長さは、河口の中が同じでも、流速によって変わらはずである。いま写真一1のようす直線型平行導流堤の先端から、shock wave を経て直進部の長さと、大体の平均流速との関係を、流量を変えて写真から測定すると、図一2のようになり、流速が増加すると、直進部の長さが大きくなることがわかる。この直進部の流れが、河口漂砂を運び出すのに有効を

写真-1

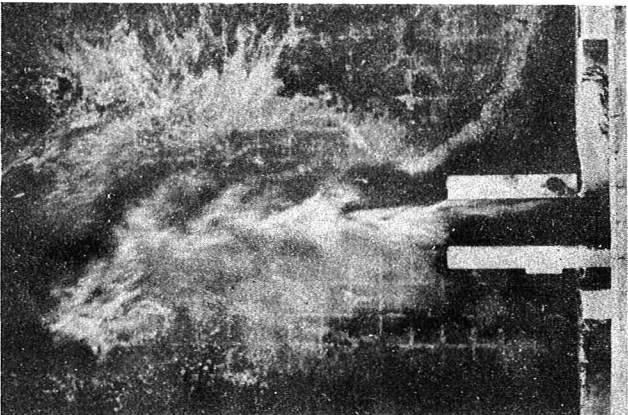


写真-2

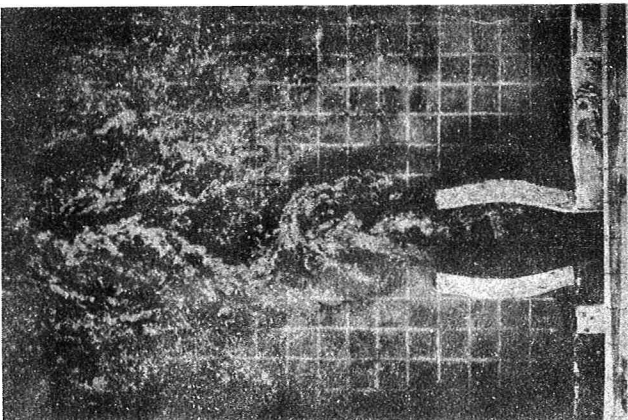
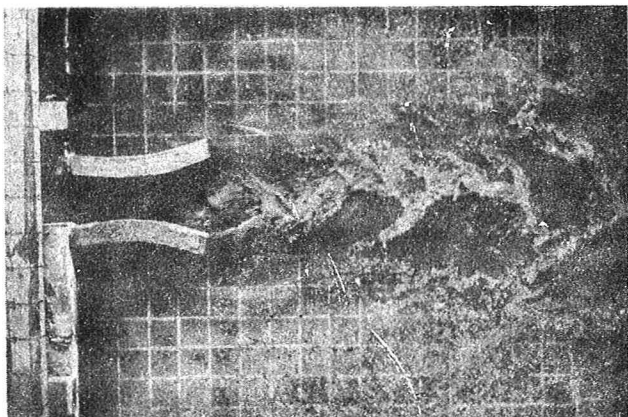


写真-3



要項となるといえる。その裏から考えておき、河口の流速は許される範囲で大きい方がよいであろう。

直進部を経た主流は渦の作用で蛇行し、ある範囲を直進した後右側に流れ、その後を主流の拡散部とよぶこととする。この部分の底床の土砂は、その主流によって洗掘されたり、さらに海洋深部へ砂を流出するであろう。すなわちこの拡散部もまた河口閉塞に関連する部分といえる。いま実験によつて、前と同様に直線平行導流堤の拡散の中と距離との関係を測定すると、図-3の通りである。

その測定の上位は流量の大きい場合で、その下位は小さい場合を示し、流量によつてその拡りが多少相異している。また図-4は直線と二つの弯曲導流堤の同じ流量に対する拡散の状況を比較したものである。この図より弯曲導流堤の形やその出口の巾で拡散部の形が多少相異しているが、いずれもよく似た曲線を示している。いまこの拡散部の形状を、図-3の曲線によると、

$$\frac{\ell}{D} = \frac{1}{2.4} \left(\frac{B_2}{D} \right)^2 - 0.458$$

となる。ただし、 ℓ : 导流堤の出口よりの距離、 D : 河口巾、 B_2 : 拡散の巾である。この形は昨年度発表した堆砂の拡りの形と一致しており、その 0.458 の値が直つてゐる。²⁾またその拡散の拡りを抛物線とすれば Tollmien³⁾の噴流理論の境界線と一致する。すなうの主流蛇行による流速変化の周辺は平均すると、6.45 秒(4.0~9.8 秒)となつてゐた。またこの拡りの巾 B_2 は流量によつて変化し、つきの図-5 のよう実験結果をえた。ゆえに、上記の 0.458 の値が流量で変化すると言

図-2 主流の直進長さ

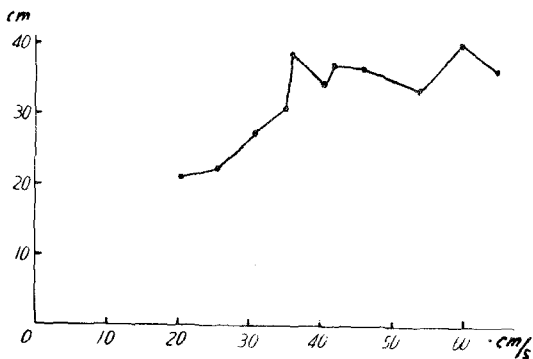


図-3 主流の拡散

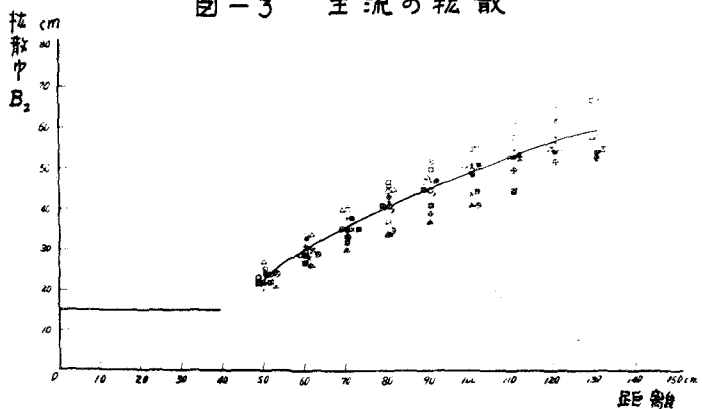
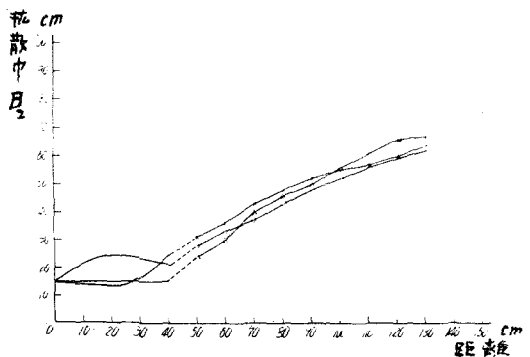


図-4 主流の拡散



と、6.45 秒(4.0~9.8 秒)となつてゐた。またこの拡りの巾 B_2 は流量によつて変化し、つきの図-5 のよう実験結果をえた。ゆえに、上記の 0.458 の値が流量で変化すると言

えてよいはずである。

こうして主流の蛇行拡散部は、主流を射流として海面に噴出させると、堆砂を生じまい正向ができる、さらにそれより海面の深部に堆砂部を生ずると見えることができる。

3 主流の流速

主流が蛇行するので、ある点の流速はかなりいちじるしく変化する。また水面も動搖し渦を生じ、流速の測定がかなり困難であった。いま手製のピトー管を用いて、各点の10回連続の高流速、低流速を測定しようとした。

左をしそれは各点の20回連続測定値を平均することとした。

つきの図-6は導流堤のない場合の全平均流速の測定結果より求めた等流速線図である。従来の噴流理論が多くはこのよき全平均流速を用するものであるから、主流の蛇行について十分なる考察を下すにはかなりの無理があると思われる。しかし、その平均流速 60 cm/s の部分があまり小さくならない直進していくことがうかがわれる。これに対して図-7は同じく導流堤のない場合の低平均流速の測定値の等流速線を示したものである。この結果より、低流速は河口よりは離れるごとに $70, 60, 50 \text{ cm/s}$ へと大きくなることがわかる。したがって、河口より出た水流の運び土砂が、その小なり流速のところでは堆積することがわかる。しかし、その堆積土砂が主流の大なり流速で流下せられることが考えられるので、図-8と同じく高平均流速の等流速線図を求めておいた。この図が示すように全体的には程度高流速が直進し、しかも流れ流速がや

図-5 拡散巾と流速

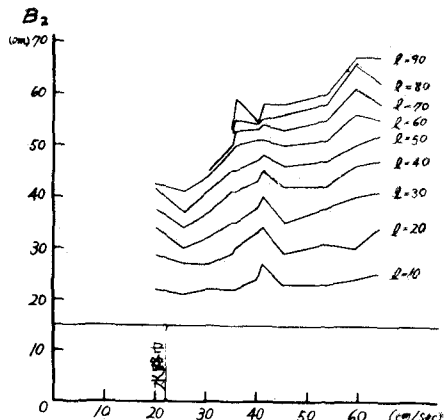


図-6 全平均流速(1)

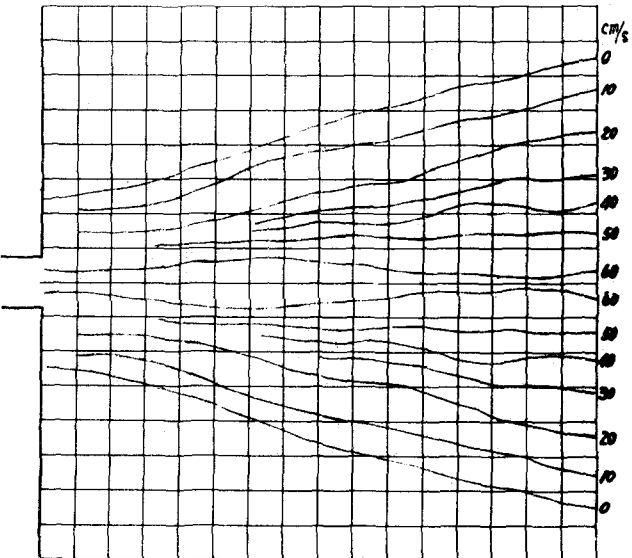
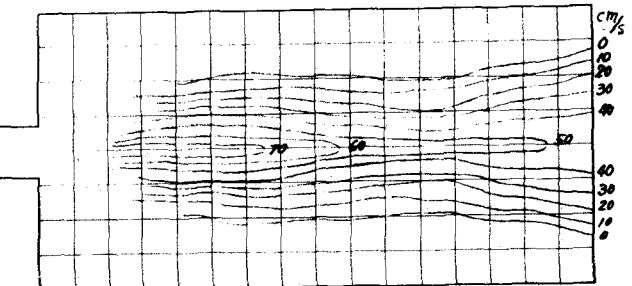


図-7 低平均流速(1)



や小さくなり、拡散がいちじるしくなることがわかる。

まことにこれらの流速は底床より約3 cm 上で全体の平均水深の $1/5$ のところの値である。また Pitot 管の静圧を平均して一定としておいて、正しい流速が与えられない。ゆえに自下うした流速の測定できる装置を考案中である。

つきの図-9, 10, 11 は同様に、前と同じ流量で直線型平行導流堤を用いた場合の平均流速を示したものである。図-9 はその全平均流速を示したもので、図-6 の場合に対応している。この図-6 の場合に比べて、図-9 の方が中央流速の大きい部分が生じ、射流域が岸よりは離れたところに生じていることがわかる。ゆえに、導流堤を長くした方が、河口閉塞処理には都合がよい。また図-6 を岸より 60 cm ほど平行にずらせて図-9 に重ねると、その流速分布図がほぼ一致する。しかし導流堤の長さは大体 39 cm ぐらいであるから、岸から 39 cm 出した流れと、岸が 60 cm あつた流れとがほぼ等しくなり、導流堤による効果がかなり弱されている。図-10 は低平均流速の場合を示したもので、図-7 と比較して大差がない。いわがえり低流速に関しては導流堤の効果はさほど表われていないうことになる。これに対してつきの図-11 は高平均流速を示したもので、図-8 に比すると、岸を約 30 cm ずらした場合の流速図と一致

図-8 高平均流速 (1)

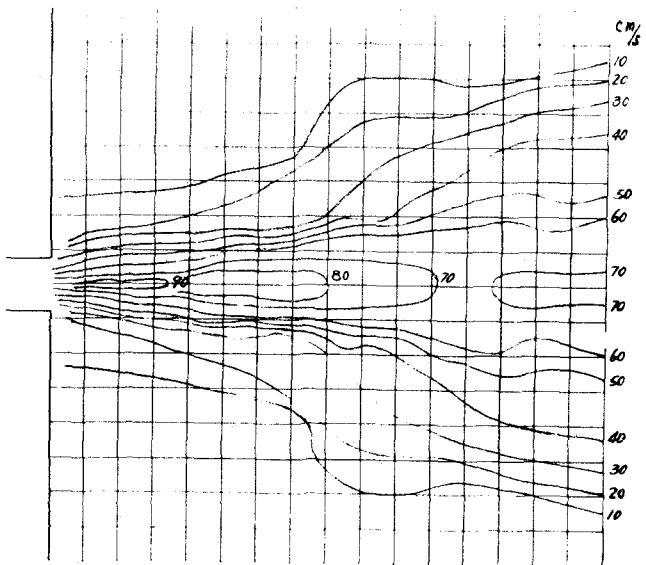


図-9 全平均流速 (2)

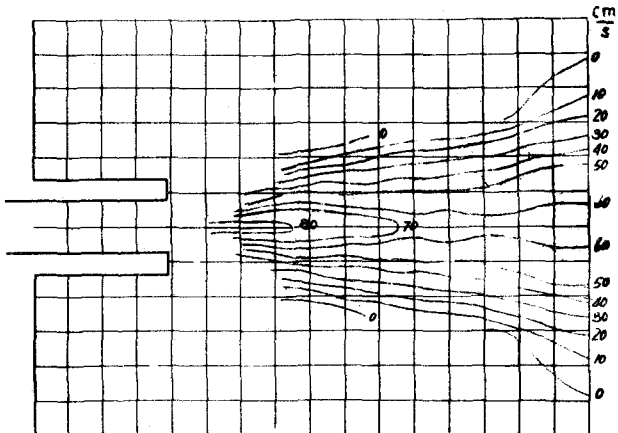
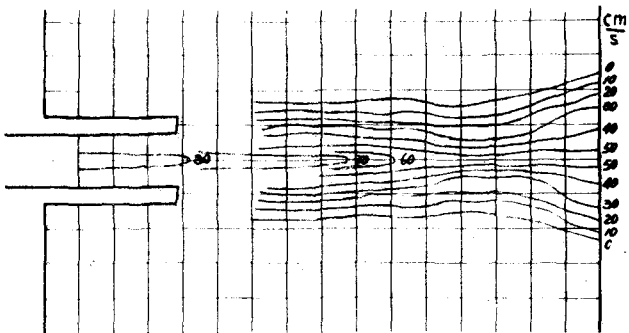


図-10 低平均流速 (2)



している。しかし導流堤の長さが39cmであるから、高平均流速は導流堤によって、全平均流速ほどには海洋に延長されないものと思われる。このようないま流速は勿論その流量によつて相異する。つきの図-12, 13, 14は同じく直線平行型導流堤で、前の一連のものより流量の少きの場合の流速を示したものである。この場合には勿論流速の海洋への延び方も小さく、高、低、全平均の流速分布の状況もかなり似たものとなる。つきの図-15, 16, 17は曲線型の導流堤である。その流量は図-6, 7, 8と同じである。図-15を図-9と比較すると、流量は同じであるが、あまり拡散していない。したがつて導流堤の先端をやや円滑に抜け落ちが、流れが集中的である。ただし、その海洋へ延び方は直線平行型のものより小さく、約20cmほど岸が延びた場合に相違している。ただ図-17のように高平均流速の分布は導流堤の出口でやや不規則である。すまむち、こうした抜けた導流堤は主流の蛇行を助成するものと見てよいであろう。さらに後に示した図-18, 19, 20の三つは同じ流量で内側へ弯曲した導流堤の流速を示したものである。これらは流線の様子をみると、内側へ弯曲した導流堤はいずれも、前より外側へ弯曲したものよりもやや拡散はいちじるしく、平行した導流堤の場合に似ている。ゆえに内側へ弯曲した導流堤は直線平行のものより大して勝つことは思われない。さらにも主流の流速も海洋へすすみは

図-11 高平均流速 (2)

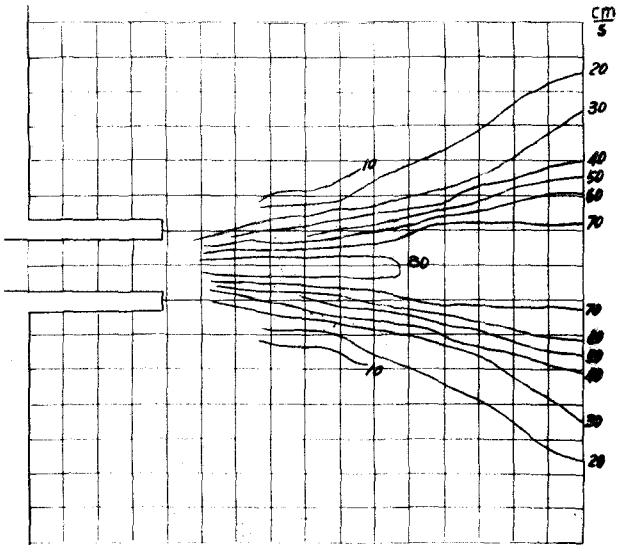


図-12 全平均流速 (3)

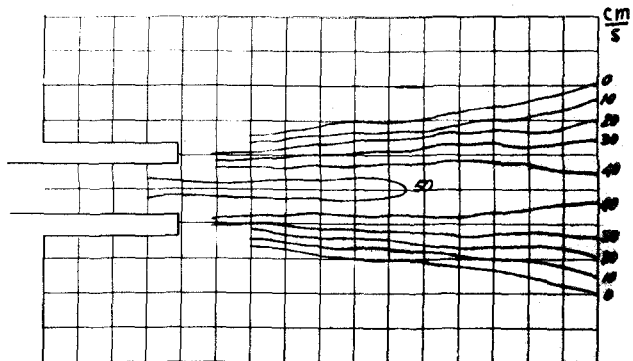
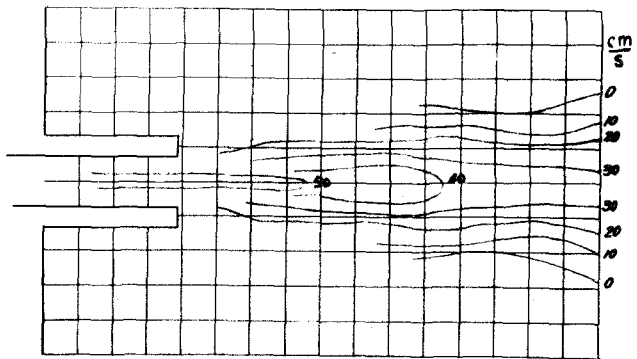


図-13 低平均流速 (3)



どがさり低下するから、河口漂砂を導流堤の出口で直ちに堆積せしめやうなものといえる。

以上の実験より直線平行型の導流堤がさり有効であることがわかる。

4 Kármánの渦列

主流の蛇行は渦の作用によるがこの渦についての若干の実験的考察をしてみよう。ただし、本実験では安定した渦を発生しない場合も少くないのに、その測定にはかなりの誤差が入っている。また写真の範囲では多くの渦がなく、若干のものに限って、その間隔を測定することとした。その結果はつきの表の通りで、主として直線平行型の導流堤の場合に関するものである。なお間隔はす

渦の中心の流れ

方向の間隔(cm)の半分

22	28	25	24	30
22	18	29	22	37
*	36	24	31	26
25	35	23	28	32
22	26	26	30	32
23	23	32	26	32
25	22	22	24	26

べて岸に向かって測った。(半型)

Kármánによると同じ強さの渦が逆回転をして、平行直線上に相互の間隔が等しく、渦の間隔が半分ずつされると二次元流の渦列が安定であるためには、

$$\frac{D_w}{D} = \frac{1}{\pi} \operatorname{cosec}^{-1} \sqrt{2} = 0.2806$$

とすることがわかつた。⁴⁾いま D を河口の中にとると、渦の間隔は 53.456

図-14 高平均流速(3)

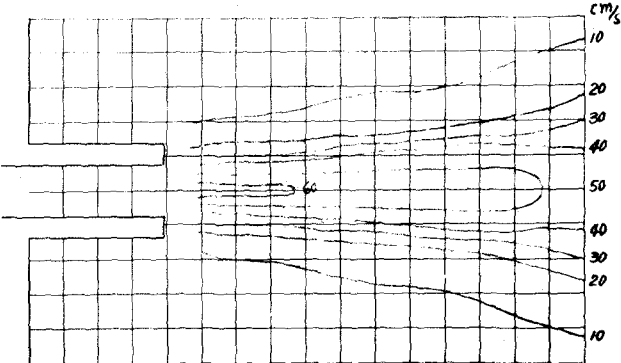


図-15 全平均流速(4).

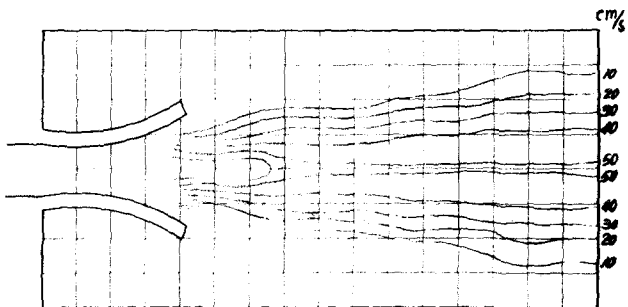


図-16 傀平均流速(4)

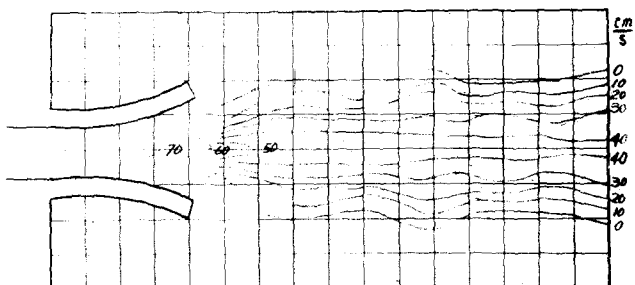
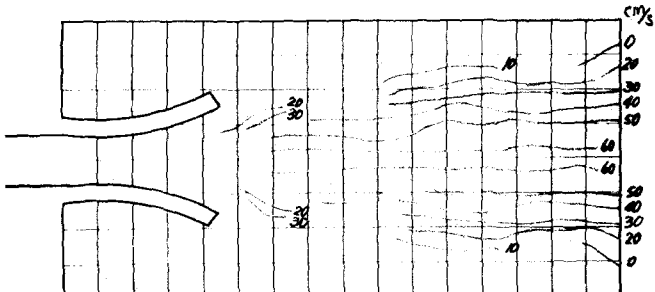


図-17 高平均流速(4)



cmとなり、その半分の長さ26.778 cmに近い値が表の中に多々二つ並ぶ。上表の平均値をとると、26.771 cmとなりほとんど一致する。ゆえに一般に河口主流による渦り問題が、この関係式で推定できる場合があろう。

5 結語

以上のような河川流のサキ主とした河口導流堤に関する実験より、概して直線型平行導流堤がよい結果を示すであろうことと、その導流堤の中の設計方法、主流の蛇行性、渦り状況などについて若干の考察を下すことことができた。

本研究は、流速計をつくりさらに綿密な実験をおこない、理論的にまとめたいものと思つてゐる。目下その流速計を試作している途中である。

図-18 全平均流速 (5)

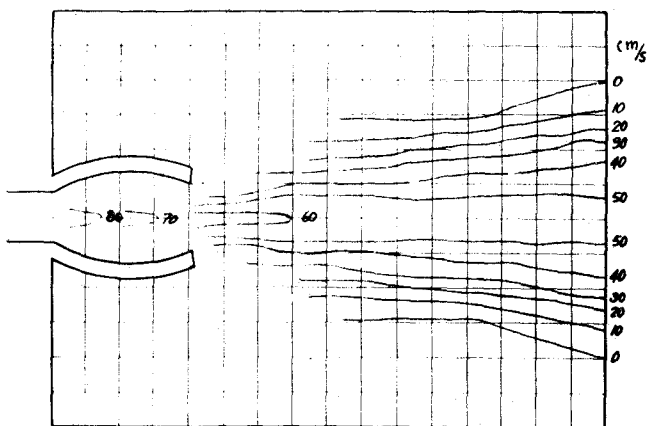


図-19 低平均流速 (5)

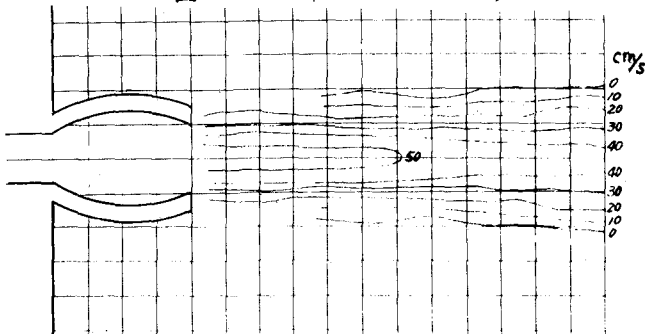
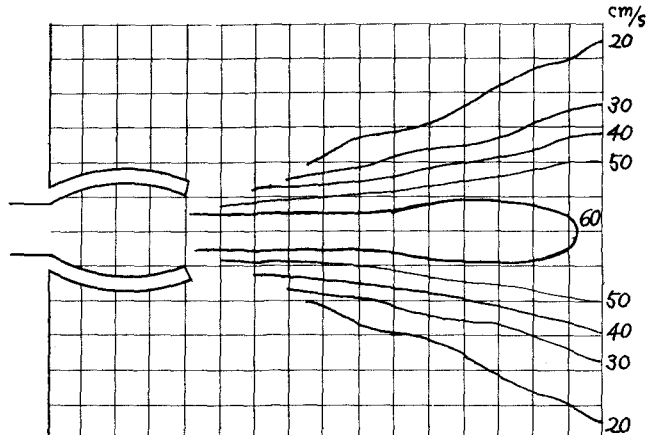


図-20 高平均流速 (5)



本研究は石原藤次郎博士の御指導により、文部省科学研究所の一員を用いてました。

引用文献

- 1) 久宝俊,"導流堤に関する模型実験による考察,"海岸工学講演会講演集(昭和31年), p. 173
- 2) W. Tollmien,"Berechnung turbulenter Ausbreitungsvorgänge," Z. a. M. M., Bd. 6 (1926), S. 468.
- 3) M.L. Albertson, Y.B. Dai, R.A. Jensen and Hunter Rouse,"Diffusion of submerged jets," Proc. A.S.C.E., (1948), Dec. p. 463.
- 4) Prandtl-Tietjens,"Hydro- u. Aeromechanik," Bd. II, S. 146.